

信州大学工学部 正員 吉田俊弥  
 信州大学工学部 正員 草間孝志  
 信州大学工学部 正員 野村文生

本報告は、一軸対称断面部材の一例として、溝形断面およびレール形断面の単一材が、軸力と曲げをうけた時の非弾性挙動、主として最大荷重後の耐力低下を理論的ならびに実験的に行ったものである。曲げモーメント、軸力、曲率の関係と荷重、変形関係の計算。

計算に際しては、次の仮定を用いた。(1)応力-ひずみ曲線は有限回の折線で表わされる(図1-b)。(2)平面保持の法則がなりたつ、 $\gamma$ の断面形状は変化しない。(3)変形は作用する曲げモーメントの面内に生じ、面外への座屈変形は生じないものとする。(4)断面を分割して得られた要素に働く応力は、 $\gamma$ の中心をこって代表するものとする。

与えられた一軸対称断面を対称軸方向に任意の数 $n$ で等間隔に分割し、応力-ひずみの関係を図(1-a)のように表わせば $i$ 番目の要素面積 $a_i$ における垂直応力 $\sigma_i$ とひずみ $\epsilon_i$ の関係は、

$$\epsilon_i = \epsilon_k + \frac{1}{E_{k+1}} (\sigma_i - \sigma_k)$$

$$\text{ただし } \sigma_k \leq \sigma_i \leq \sigma_{k+1}, \quad E_k \leq \epsilon_i \leq E_{k+1}$$

曲率を $\phi$ 、下縁のひずみを $\epsilon_L$ とすれば $i$ 番目の要素のひずみは

$$\epsilon_i = \epsilon_L + \phi h (i - 0.5)$$

断面内には軸力のみによる垂直応力 $\sigma_N$ とこれに相当するひずみ $\epsilon_N$ は必ず存在しなくてはならない。従って断面下縁のひずみ $\epsilon_L$ のとり得る可能な範囲は、

$$\epsilon_N - \phi \times H \leq \epsilon_L \leq \epsilon_N$$

軸力 $N$ と曲げモーメント $M$ をうける場合、断面の平衡条件は

$$N = \sum_{i=1}^n (\sigma_i \times a_i), \quad M = \sum_{i=1}^n (\sigma_i - \sigma_N) h \cdot i \cdot a_i$$

以上の式より $\epsilon_L$ あるいは $\sigma_N$ を媒介変数として $M-\phi-N$ の関係を求めることができる。この関係を用いて一軸対称断面の偏心圧縮による部材のたわみ・応力等を

弾性・塑性、ひずみ硬化域まで考慮して解析した。部材のたわみ $Y(x)$ を次のように仮定した。

$$Y(x) = \delta \cos(\pi x / L), \quad \delta: \text{部材中央突のたわみ}$$

$L: \text{部材長}$

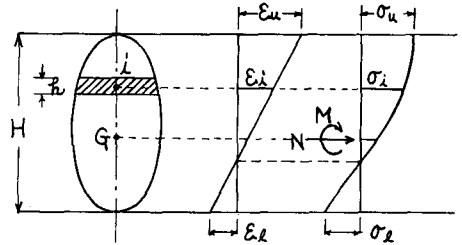


図 1-a

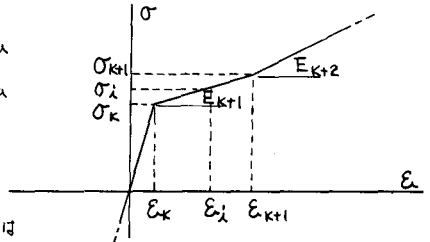
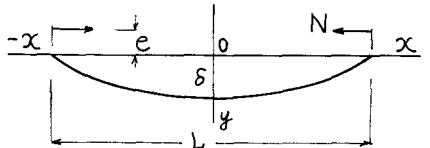
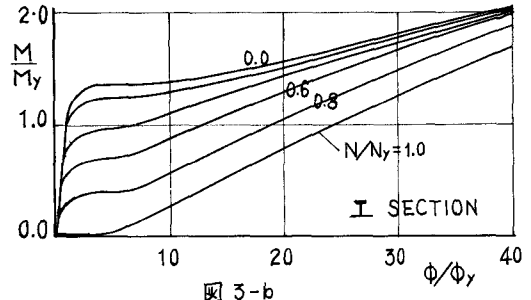
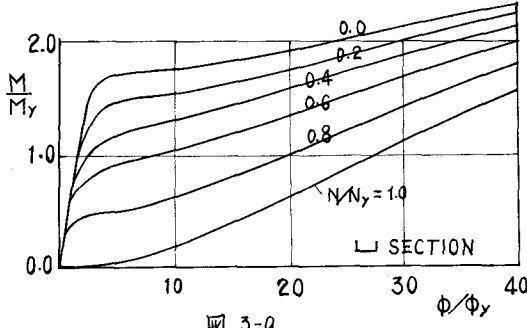
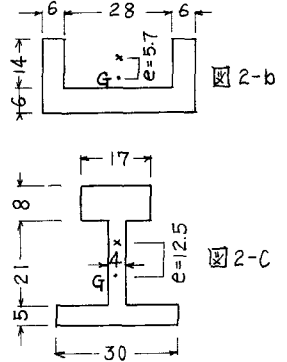
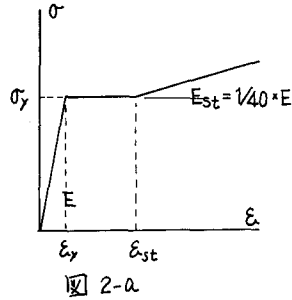


図 1-b



軸力-たわみの関係は、軸力の仮定値 $N_1$ と曲率 $\phi = Y''(x)$ からそれに対応するモーメント $M_1$ を求め、許容誤差内で $M_1 = \delta N_1$ にする様に $N_1$ を仮定して求めた。実験に当たって図(2-b)に示す断面形を使用しSM 50 鋼を用いた。応力-ひずみ関係は、圧縮試験の結果図2-aに示すように $E = 2.1 \times 10^6 \text{ kg/cm}^2$ 。

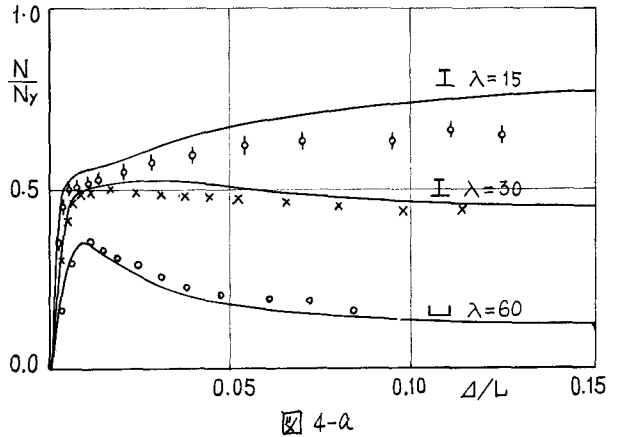
$\sigma_y = 2900 \text{ kg/cm}^2$ ,  $E_{st}/E_y = 4.0$ ,  $e_{st} = 0.025$   
 とした。偏心は、溝形断面は弱軸まわりに  
 図2-bに示すように与え、レール形断面は強  
 軸まわりに図2-cに示すように与えた。なお  
 材端にはローラー支承を用いた。偏心圧縮の  
 実験に先立ち、まず弾性範囲内で中心圧縮を  
 かけ、ストレーンゲージによって十分正確に中  
 心圧縮であることを確認した後、部材の上下  
 端をダイヤルゲージの読みをもとに移動させ



偏心を与えた。

計算結果および実験結果

$M-\phi-N$  の関係は図(3-a, b)のようになる。  
 全塑性モーメント  $M_p$  と降伏モーメント  $M_b$  と  
 の比は溝形断面(図2-b)において  $M_p/M_y =$   
 $1.79$ 、レール形断面(図2-c)においては、 $M_p$   
 $/M_y = 1.41$  なる結果を得た。また各々ある  
 定った軸力に対してひずみ硬化域に入る変  
 の曲率およびそれ以後のモーメントと曲率  
 の関係を知ることが出来る。 $M-\phi-N$  の関  
 係を用いて偏心量と細長比を与えたときの



荷重とたわみの関係を図(4-a)の実線にて示す。あわせて実験値をプロットした。図より明らかのように  
 理論値と実験値は比較的良好に一致していることがわかる。理論より実験の結果から次の  
 ことが言える。細長比が約20より小なる部材では最大荷重後の荷重低下はほとんど見られない。細長  
 比約20以上においては、ひずみ硬化の影響はほとんど現れない。この等の傾向は長方形断面ならび  
 I形断面の場合と一致している。

偏心圧縮をうける一軸対称断面部材の変形性状について概要を述べ、一例として溝形断面とレール  
 形断面の部材について模型実験を行った。その他の一軸対称断面の部材ならびに実物の部材等に対し  
 ては、局部座屈の問題を念のため今後検討したいと思っている。